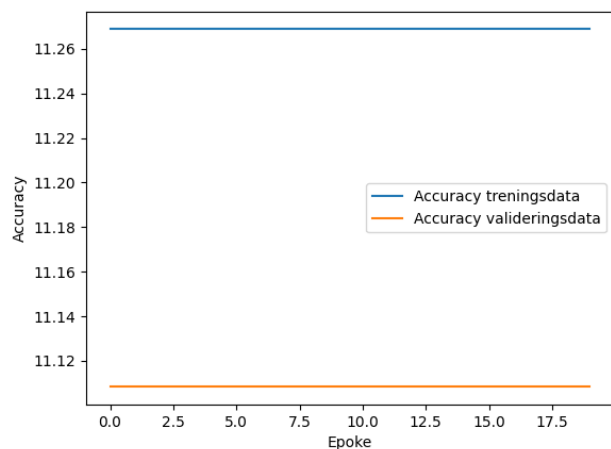
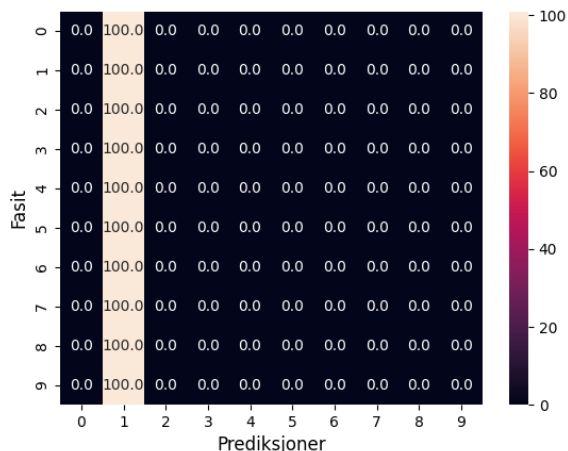


## Vedlegg C

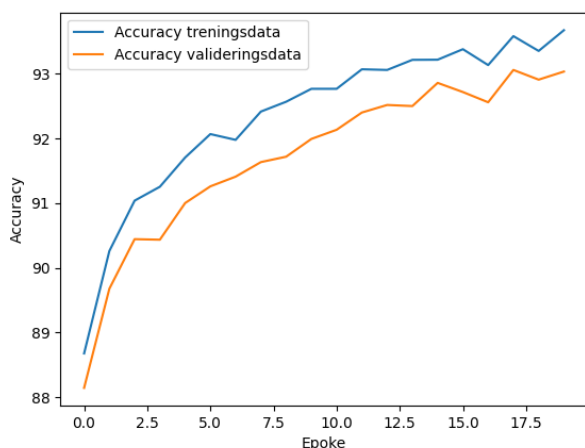
Under er det vist plott av nøyaktighet som funksjon av epoke for trenings- og valideringsdata for alle de kjørte modellene med CNN med to konvolusjonslag, samt feilmatriser for valideringsdataene etter 20 epoker. Legg merke til at fargeskalaen på feilmatrisene har ulike grenser, for at variasjonene skulle komme godt frem, og skalaen for nøyaktighet også varierer avhengig av hvor godt modellen gjorde det.



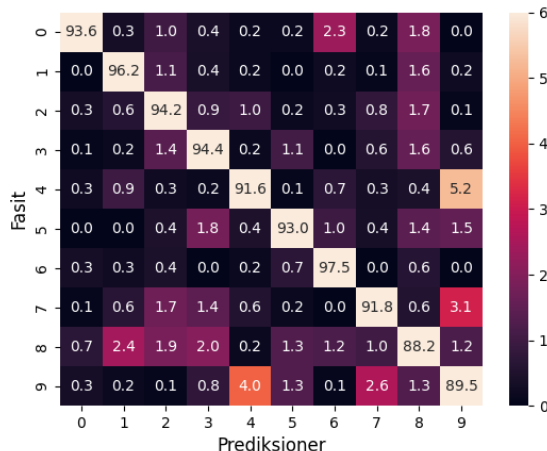
Figur 1 : Nøyaktighet som funksjon av epoke for modell CNN 17 (to konvolusjonslag, ett filter i begge lag, filterdimensjon 3, stride 1 og padding 1).



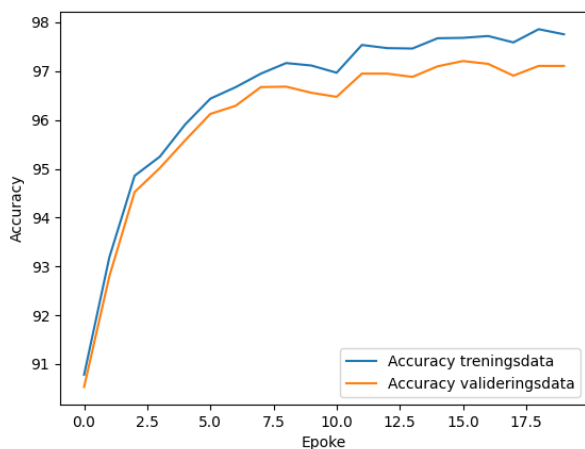
Figur 1: Feilmatrixe for valideringsdataene etter 20 epoker for modell CNN 17 (to konvolusjonslag, ett filter i begge lag, filterdimensjon 3, stride 1 og padding 1).



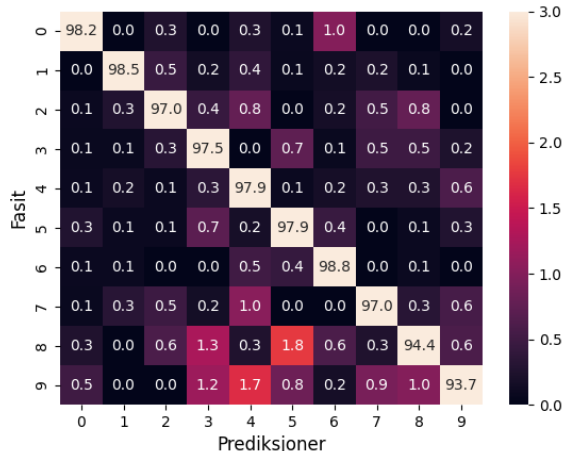
Figur 2: Nøyaktighet som funksjon av epoke for modell CNN 18 (to konvolusjonslag, ett filter i begge lag, filterdimensjon 5, stride 1 og padding 2).



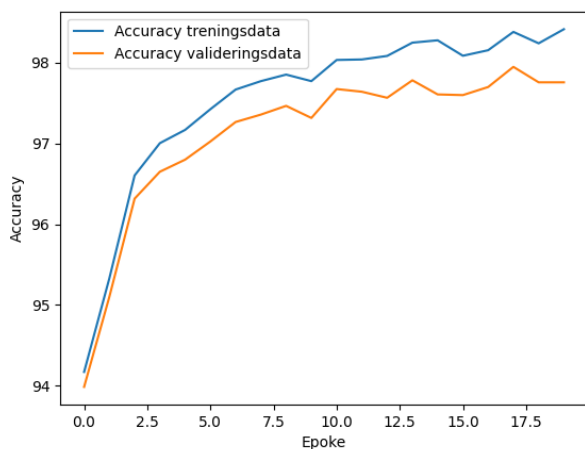
Figur 3: Feilmatrixe for valideringsdataene etter 20 epoker for modell CNN 18 (to konvolusjonslag, ett filter i begge lag, filterdimensjon 5, stride 1 og padding 2).



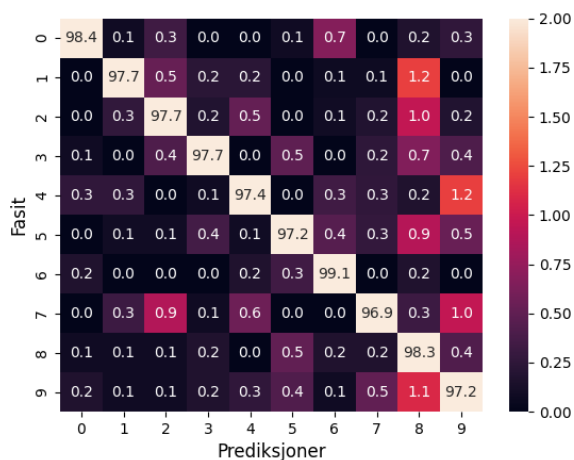
Figur 4: Nøyaktighet som funksjon av epoke for modell CNN 21 (to konvolusjonslag, 2+4 filter, filterdimensjon 3, stride 1 og padding 1).



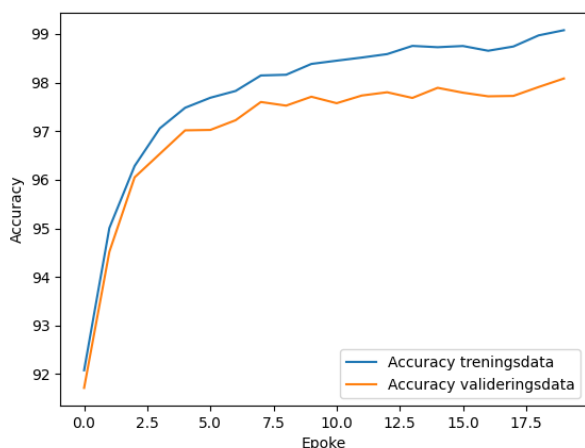
Figur 5: Feilmatrixe for valideringsdataene etter 20 epoker for modell CNN 21 (to konvolusjonslag, 2+4 filter, filterdimensjon 3, stride 1 og padding 1).



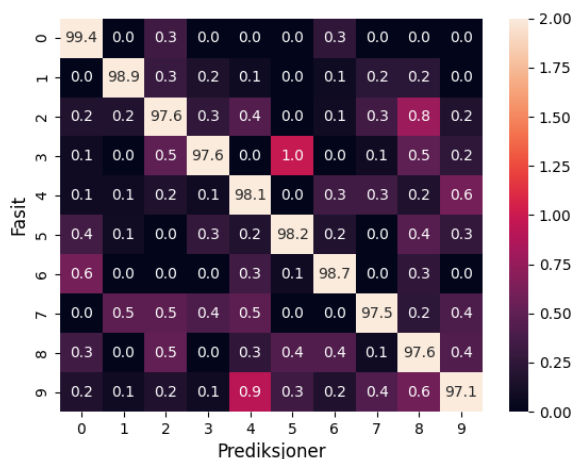
Figur 6: Nøyaktighet som funksjon av epoke for modell CNN 22 (to konvolusjonslag, 2+4 filter, filterdimensjon 5, stride 1 og padding 2).



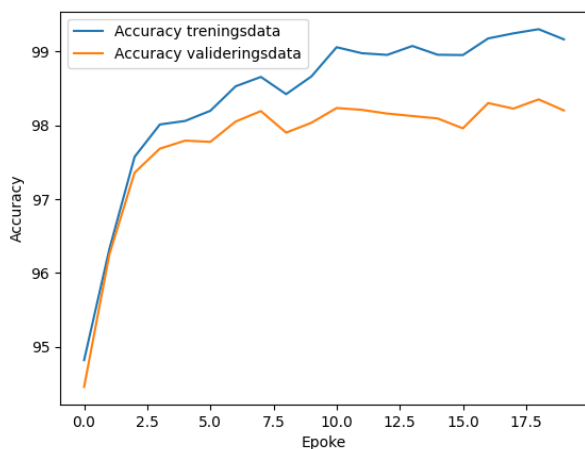
Figur 7: Feilmatrixe for valideringsdataene etter 20 epoker for modell CNN 22 (to konvolusjonslag, 2+4 filter, filterdimensjon 5, stride 1 og padding 2).



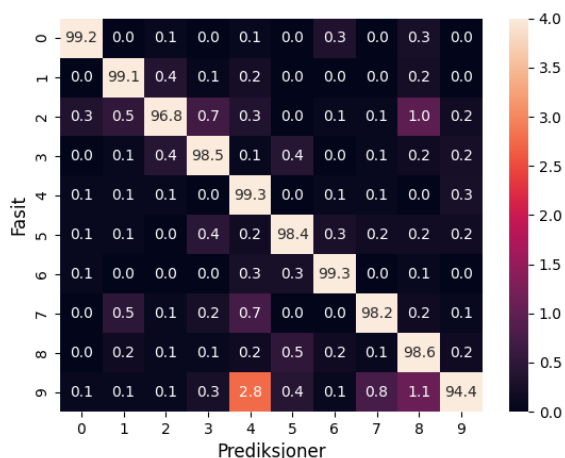
Figur 8: Nøyaktighet som funksjon av epoke for modell CNN 25 (to konvolusjonslag, 4+8 filter, filterdimensjon 3, stride 1 og padding 1).



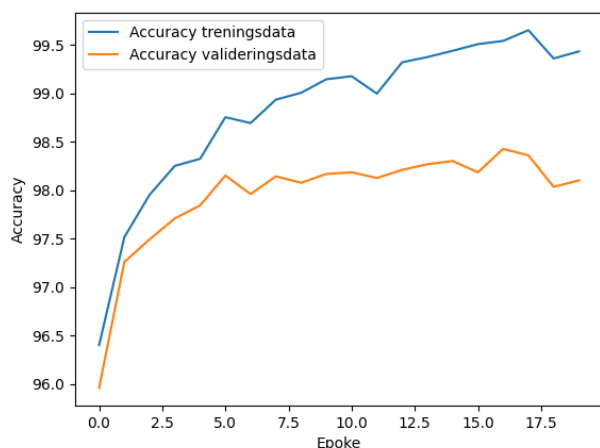
Figur 9: Feilmatrixe for valideringsdataene etter 20 epoker for modell CNN 25 (to konvolusjonslag, 4+8 filter, filterdimensjon 3, stride 1 og padding 1).



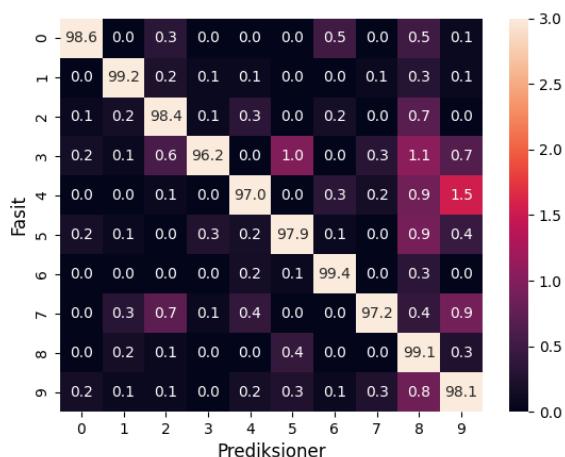
Figur 10: Nøyaktighet som funksjon av epoke for modell CNN 26 (to konvolusjonslag, 4+8 filter, filterdimensjon 5, stride 1 og padding 2).



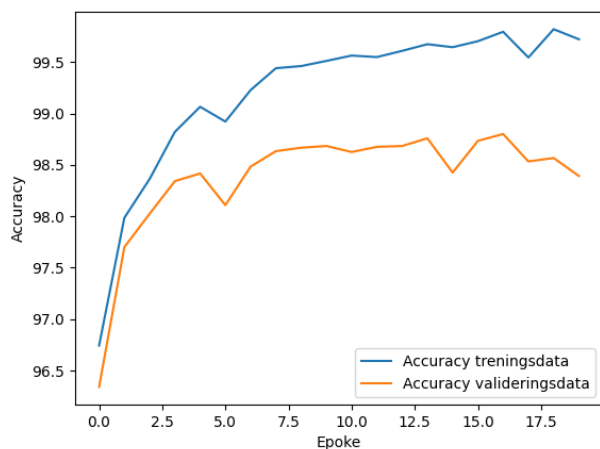
Figur 11: Feilmatrixe for valideringsdataene etter 20 epoker for modell CNN 26 (to konvolusjonslag, 4+8 filter, filterdimensjon 5, stride 1 og padding 2).



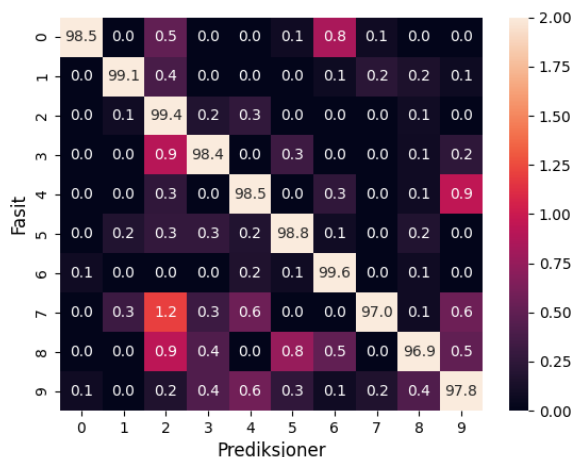
Figur 12: Nøyaktighet som funksjon av epoke for modell CNN 29 (to konvolusjonslag, 8+16 filter, filterdimensjon 3, stride 1 og padding 1).



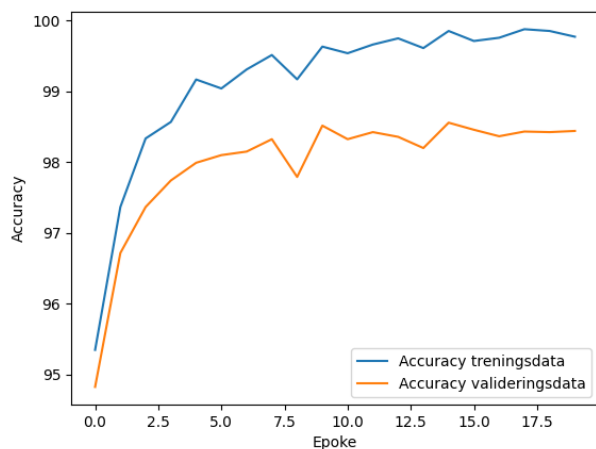
Figur 13: Feilmatrixe for valideringsdataene etter 20 epoker for modell CNN 29 (to konvolusjonslag, 8+16 filter, filterdimensjon 3, stride 1 og padding 1).



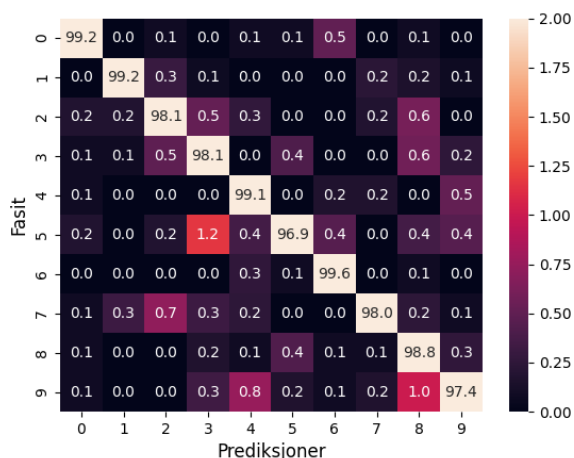
Figur 14: Nøyaktighet som funksjon av epoke for modell CNN 30 (to konvolusjonslag, 8+16 filter, filterdimensjon 5, stride 1 og padding 2).



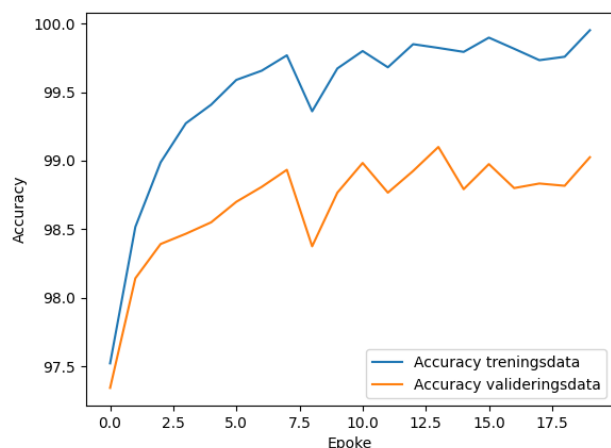
Figur 15: Feilmatrixe for valideringsdataene etter 20 epoker for modell CNN 30 (to konvolusjonslag, 8+16 filter, filterdimensjon 5, stride 1 og padding 2).



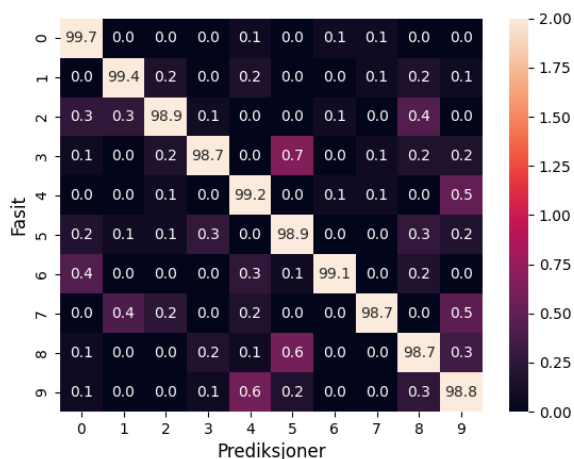
Figur 16: Nøyaktighet som funksjon av epoke for en arkitektur laget for å ligne LeNet5-arkitekturen. 2 konvolusjonslag og to fullt koblete konvolusjonslag.



Figur 17: Feilmatrise for valideringsdataene etter 20 epoker for en arkitektur laget for å ligne LeNet5-arkitekturen. 2 konvolusjonslag og to fullt koblete konvolusjonslag.



Figur 18: Nøyaktighet som funksjon av epoke for modell CNN 30 modifisert (to konvolusjonslag, 8+16 filter, filterdimensjon 5, stride 1 og padding 2) utvidet med to fullt koblete skjulte lag på toppen med 500+150 noder.



Figur 19: . Det er